

### 4.3. Сложение колебаний.

#### 4.3.1. Векторная диаграмма. Сложение колебаний одинаковой частоты.

Удобно использовать наглядное изображение колебаний с помощью *векторных диаграмм*. Введем ось  $x$  и отложим вектор  $\vec{A}$ , определяющий амплитуду колебаний, из точки  $O$  под углом  $\alpha$ , в соответствие с записью гармонических колебаний (рис. 3.1):

$$x(t) = A \cos(\omega_0 t + \alpha) \quad (4.3.1)$$

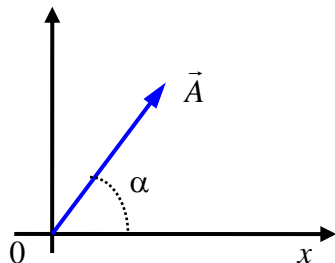


Рис. 3.1.

При этом можно считать, что зависимость от времени проявляется в том, что фаза  $\omega_0 t + \alpha$  растет линейно со временем, а соответственно вектор  $\vec{A}$  вращается с угловой скоростью  $\omega_0$ . Тогда зависимость проекции  $\vec{A}$  на ось  $x$  от времени  $t$  определяется формулой (4.3.1). Это рассмотрение аналогично представлению комплексных чисел на плоскости, когда реальная часть комплексного числа определяется точкой на оси  $x$ .

Рассмотрим сложение 2-х гармонических колебаний одинаковой частоты  $\omega_0$  и одного направления:

$$\begin{aligned} x_1(t) &= A_1 \cos(\omega_0 t + \varphi_1) \\ x_2(t) &= A_2 \cos(\omega_0 t + \varphi_2) \end{aligned} \quad (4.3.2)$$

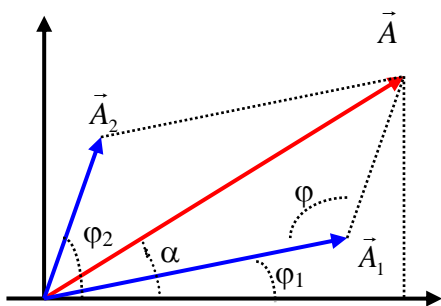


Рис. 3.2.

Используя геометрическую интерпретацию колебаний, изображенных на рис. 3.2, удобно получить суммарное колебание как сложение векторных амплитуд отдельных колебаний  $\vec{A} = \vec{A}_1 + \vec{A}_2$  и их проекций на ось  $x$ :  $x = x_1 + x_2$ . Из теоремы косинусов имеем:

$$\begin{aligned} A^2 &= A_1^2 + A_2^2 - 2A_1A_2 \cos \varphi = \\ &= A_1^2 + A_2^2 + 2A_1A_2 \cos(\varphi_2 - \varphi_1) \end{aligned} \quad (4.3.3)$$

Итак, в результате сложения этих колебаний имеем для полного колебания следующее выражение:

$$x(t) = A \cos(\omega_0 t + \alpha), \quad (4.3.4)$$

где амплитуда и начальная фаза определяются:

$$\begin{cases} A = (A_1^2 + A_2^2 + 2A_1A_2 \cos(\varphi_2 - \varphi_1))^{1/2} \\ \operatorname{tg} \alpha = \frac{A_1 \sin \varphi_1 + A_2 \sin \varphi_2}{A_1 \cos \varphi_1 + A_2 \cos \varphi_2} \end{cases} \quad (4.3.5)$$

Эти же формулы можно было получить из простых тригонометрических преобразований, складывая уравнения (4.3.2). Отметим, *максимальная амплитуда* получается при *равных* начальных фазах колебаний  $\varphi_1 = \varphi_2$ :

$$A = A_1 + A_2,$$

то есть при синфазных колебаниях, в то время как *минимальная амплитуда* – при разности начальных фаз  $(\varphi_1 - \varphi_2) = \pm \pi$ :

$$A = A_1 - A_2,$$

когда колебания происходят в противофазе.

Итак, получаем следующий вывод: *суммой гармонических колебаний одинаковой частоты является гармоническое колебание с той же частотой*, а амплитудой и фазой, определяемыми формулами (4.3.4) - (4.3.5).

#### 4.3.2. Сложение гармонических колебаний с близкими частотами. Биения.

Рассмотрим два колебания одного направления, частоты которых  $\omega_1$  и  $\omega_2$  различны. Как следует из векторной диаграммы на рис. 3.2, поскольку  $\vec{A}_1$  и  $\vec{A}_2$  вращаются с разной угловой скоростью, то при их сложении в результирующем колебании возникают зависимости амплитуды и частоты от времени. Получаем в результате сложения *негармоническое колебание*, для которого, строго говоря, уже нельзя вводить понятия амплитуды и частоты.

Наибольший интерес вызывает случай, когда разность частот складывающихся колебаний  $\omega_2 - \omega_1 = \Delta\omega$  мала:

$$\Delta\omega \ll \omega_1, \omega_2 \quad (4.3.6)$$

Итак, рассмотрим два колебания:

$$\begin{aligned} x_1(t) &= A_1 \cos(\omega_1 t + \varphi_1) \\ x_2(t) &= A_2 \cos(\omega_2 t + \varphi_2) \end{aligned} \quad (4.3.7)$$

Пусть для определенности  $A_1 > A_2$  и система координат вращается вместе с вектором  $\vec{A}_1$  с угловой скоростью  $\omega_1$ . Тогда в некоторый момент времени имеем следующую картину, представленную на рис. 3.3:  $\vec{A}_1$  находится под углом  $\varphi_1$  к горизонтальной оси. Тогда относительно вектора  $\vec{A}_1$  вектор  $\vec{A}_2$

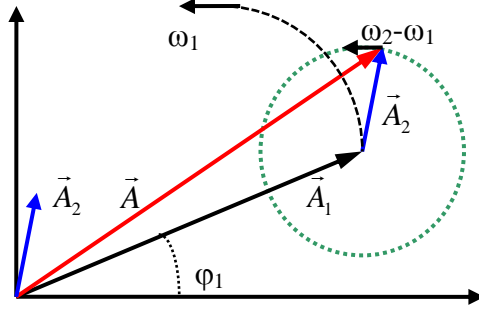


Рис. 3.3.

вращается вокруг конца вектора  $\vec{A}_1$  с угловой скоростью  $\Delta\omega = \omega_2 - \omega_1$ , то есть достаточно медленно по сравнению с частотами  $\omega_1, \omega_2$ .

Для упрощения задачи пусть амплитуды складывающихся колебаний равны  $A_1 = A_2$ , и начало отсчета введем в момент времени  $t$ , когда  $\varphi_1 = \varphi_2 = 0$  (всегда можно перенести начало отсчета времени). Таким образом, будем складывать следующие колебания:

$$\begin{aligned} x_1(t) &= A \cos \omega_1 t \\ x_2(t) &= A \cos(\omega_1 + \Delta\omega)t \end{aligned} \quad (4.3.8)$$

Сложим (4.3.8):

$$x(t) = x_1(t) + x_2(t) = A [\cos \omega t + \cos(\omega + \Delta\omega)t] = 2A \cos \frac{(\omega + \Delta\omega)t - \omega t}{2} \cos \frac{(\omega + \Delta\omega)t + \omega t}{2}$$

и, так как разность частот мала  $\Delta\omega \ll \omega$ , получаем окончательно:

$$x(t) \approx 2A \cos \frac{\Delta\omega}{2} t \cdot \cos \omega t \quad (4.3.9)$$

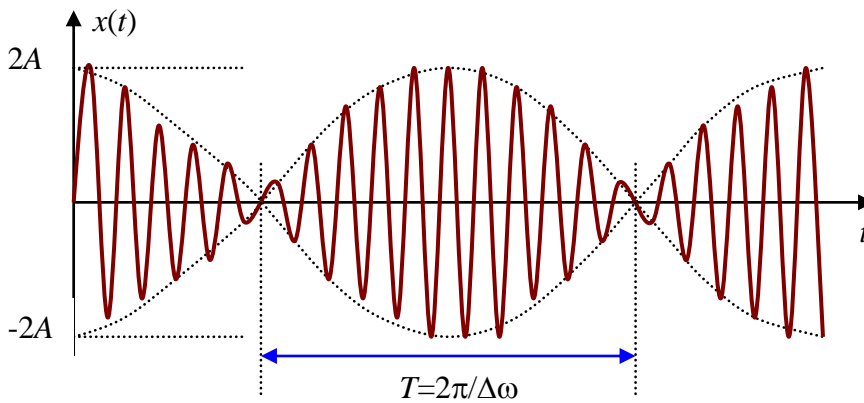


Рис. 3.4.

Фаза  $\omega t$  меняется со временем значительно быстрее, чем фаза  $\Delta\omega t/2$ , и поэтому медленно меняющийся со временем косинус  $\cos(\Delta\omega t/2)$  можно отнести к амплитуде  $2A$ . Таким образом, получаем амплитуду, пульсирующую во времени:

$$a(t) = \left| 2A \cos \frac{\Delta\omega}{2} t \right| \quad (4.3.10)$$

Эта амплитуда “вырезает” область на оси  $x$  (пунктирные линии на рис. 3.4), которая ограничивает колебания с

частотой близкой к  $\omega$ . Такие колебания называются *биениями* (см рис. 3.4). Для складывающихся колебаний с равными амплитудами  $A_1 = A_2$  максимальное значение амплитуды биений равно  $2A$ , минимальное – 0. Частота биений  $\Omega$  – медленная частота – определяется соотношением:

$$\Omega = |\omega_2 - \omega_1| = \Delta\omega \quad (4.3.11)$$

Частота  $\Omega$  в 2 раза больше, чем следует из (4.3.10), так как области заполнения появляются на каждый полупериод. Период биений также в 2 раза меньше времени полного колебания из (4.3.10) и равен

$$T = \frac{2\pi}{\Delta\omega} \quad (4.3.12)$$

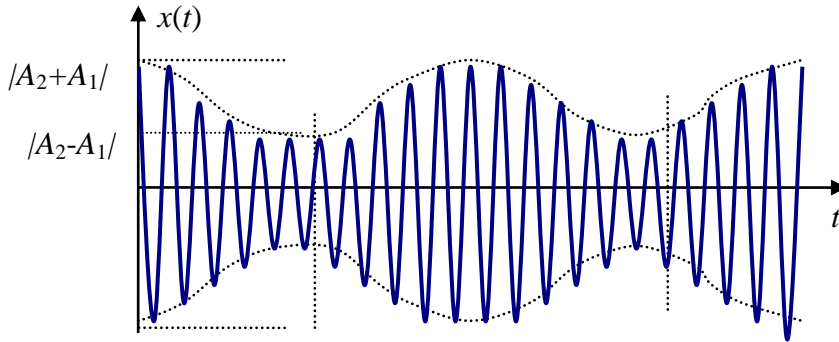


Рис. 3.5.

Если амплитуды складывающихся колебаний не одинаковы, т.е.

$$A_2 \neq A_1,$$

тогда амплитуда биений не обращается в 0 (см рис. 3.5), а достигает своего минимального  $|A_2 - A_1|$  и максимального  $|A_2 + A_1|$  значений. Огибающая биений периодически изменяется со временем с той же частотой  $\Omega$ , определяемой (4.3.11).

#### 4.3.3. Сложение взаимно-перпендикулярных колебаний.

Рассмотрим сложение 2-х колебаний, направленных вдоль осей  $x$  и  $y$ . Результирующая траектория конца вектора результирующего колебания – плоская кривая, ее форма зависит от частот складывающихся колебаний и от разности их фаз  $\Delta\varphi$ .

1) Рассмотрим сначала случай одинаковых частот  $\omega_1 = \omega_2$ .

$$x = A \cos \omega t, \quad y = B \cos(\omega t + \varphi) \quad (4.3.13)$$

где  $\varphi = \varphi_2 - \varphi_1$ . Чтобы получить траекторию движения материальной точки, определяемую уравнениями (4.3.13), исключим из них время  $t$ . Из первого уравнения (4.3.13) имеем:

$$\cos \omega t = \frac{x}{A}, \quad \sin \omega t = \sqrt{1 - \cos^2 \omega t} = \sqrt{1 - \frac{x^2}{A^2}}$$

и подставим во второе уравнение для  $y$ , предварительно разложив косинус суммы углов:

$$y = B(\cos \omega t \cdot \cos \varphi - \sin \omega t \cdot \sin \varphi) = B \left( \frac{x}{A} \cos \varphi - \sqrt{1 - \frac{x^2}{A^2}} \cdot \sin \varphi \right)$$

Преобразуем последнее равенство к виду:

$$\frac{x}{A} \cos \varphi - \frac{y}{B} = \sin \varphi \sqrt{1 - \frac{x^2}{A^2}}$$

Возводя в квадрат, получаем окончательно:

$$\frac{x^2}{A^2} + \frac{y^2}{B^2} - \frac{2xy}{AB} \cos \varphi = \sin^2 \varphi \quad (4.3.14)$$

Это *уравнение эллипса*, оси которого произвольно ориентированы относительно осей  $x$  и  $y$ .

Рассмотрим частные случаи уравнения (4.3.14) и определим для них траектории движения колеблющейся материальной точки.

А). Пусть разность фаз  $\varphi = 0$ , тогда для траектории колеблющегося тела получаем прямую линию, проходящую через начало координат (рис. 3.6 а)

$$\left( \frac{x}{A} - \frac{y}{B} \right)^2 = 0, \quad y = \frac{B}{A} x, \quad (4.3.15)$$

Таким образом, получаем гармоническое колебание с амплитудой  $\sqrt{A^2 + B^2}$ .

Б). Пусть разность фаз  $\varphi = \pm\pi$ , тогда получаем тоже прямую линию и гармоническое колебание с той же амплитудой, но только прямая проходит через другие квадранты (рис. 3.6 б):

$$\left( \frac{x}{A} + \frac{y}{B} \right)^2 = 0, \quad y = -\frac{B}{A} x \quad (4.3.16)$$

В). Рассмотрим разность фаз равную  $\varphi = \pm\pi/2$ , тогда получаем эллипс,

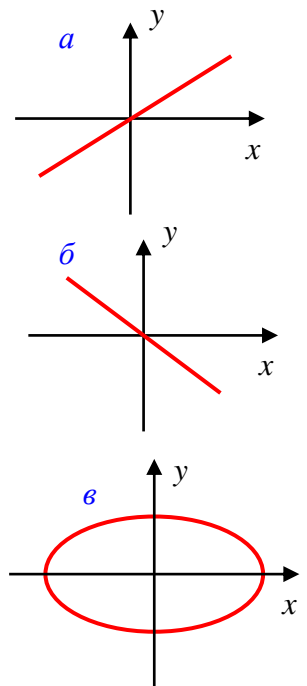


Рис. 3.6.

ориентированный по осям  $x$  и  $y$  (рис. 3.6 в):

$$\frac{x^2}{A^2} + \frac{y^2}{B^2} = 1 \quad (4.3.17)$$

При этом движение колеблющегося тела (траектория маятника) совершается по часовой стрелке при разности фаз  $\varphi = \pi/2$ , и против часовой стрелки при разности фаз  $\varphi = -\pi/2$ .

При тех же разностях фаз и одинаковых амплитудах складывающихся взаимно перпендикулярных колебаний получаем равномерное движение по окружности.

2) Рассмотрим разные частоты складывающихся взаимно перпендикулярных колебаний  $\omega_1$  и  $\omega_2$ :

$$\begin{aligned} x(t) &= A \cos \omega_1 t \\ y(t) &= B \cos(\omega_2 t + \varphi) \end{aligned}$$

А) Если частоты разные и их отношение не равно отношению целых чисел  $\omega_1/\omega_2 \neq n/m$  ( $n, m$  – целые числа), то траектория результирующего колебания не является замкнутой кривой. Если при этом частоты  $\omega_1$  и  $\omega_2$  близки по величине  $\Delta\omega = |\omega_2 - \omega_1| \ll \omega_1, \omega_2$ , то траектория колебаний меняется постепенно. В самом деле, сложим следующие колебания:

$$\begin{aligned} x(t) &= A \cos \omega t \\ y(t) &= B \cos(\omega t + (\Delta\omega t + \varphi)) \end{aligned} \quad (4.3.18)$$

где разность фаз этих колебаний  $\Delta\omega = (\Delta\omega t + \varphi)$  является медленно меняющейся величиной по сравнению с  $\omega_1, \omega_2$ . При этом разность фаз колебаний проходит с небольшой скоростью все возможные значения, и, следовательно, траектория результирующих колебаний не является замкнутой, она меняется непрерывным образом и проходит все те частные случаи, о которых говорилось в предыдущем пункте 1) этого параграфа.

Б) Если частоты  $\omega_1$  и  $\omega_2$  – кратны

$$\omega_1 = n\omega_2 \quad \text{или} \quad \omega_2 = n\omega_1,$$

где  $n$  – целое число, то получаем замкнутые фигуры траектории, которые носят название *фигур Лиссажу*.

Рассмотрим в качестве примера соотношение частот, равное  $\omega_1/\omega_2 = 1/2$ , то есть по оси  $y$  колебания происходят чаще в 2 раза, чем по оси  $x$ . На рисунках 3.7 приведены 2 траектории, соответствующие суммам перпендикулярных колебаний с разностями фаз  $\varphi = \pi/2$  и  $\varphi = 0$ . При промежуточных разностях фаз складывающихся колебаний получаем замкнутые кривые, занимающие промежуточные траектории между этими двумя предельными случаями.

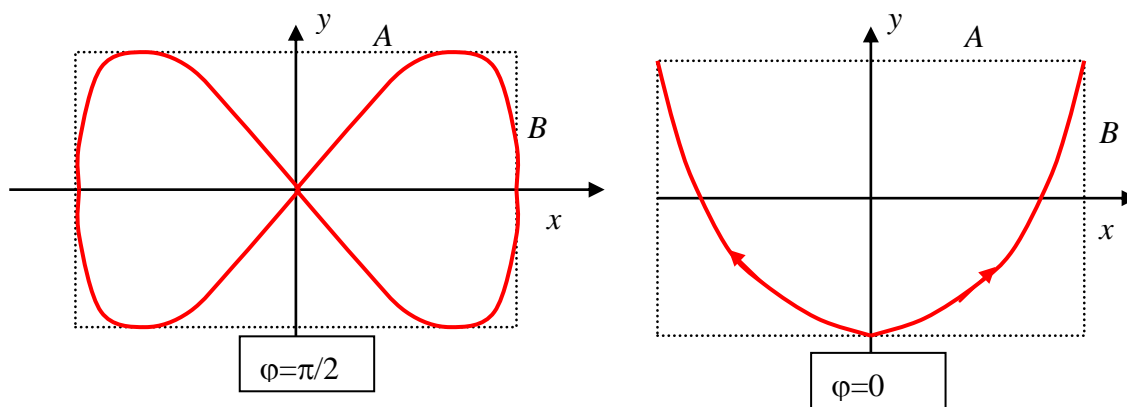


Рис. 3.7.

При других кратностях частот  $\omega_1 = n\omega_2$  происходит движение по замкнутой траектории с многократными пересечениями осей в пределах пространства, ограниченного амплитудами  $A$  и  $B$ . Фигуры Лиссажу хорошо могут быть видны на осциллографе при подаче на вход  $x$  и  $y$  двух периодических сигналов, кратных по частоте.

Отметим, что в принципе замкнутые траектории получаются при любом рациональном отношении частот  $\omega_1/\omega_2 = n/m$  ( $n, m$  – целые числа).

---

Примечание 1. *Жюль Антуан Лиссажу, французский физик, 1822–1880*

---

#### 4.3.4. Разложение в спектр периодических функций.

Суммированием или, иначе, суперпозицией гармонических колебаний можно получить любую периодическую функцию времени. Верно и обратное, любое сложное колебание – периодическая функция времени – может быть разложено в ряд по гармоническим колебаниям различных частот. Такое разложение называется разложением в *ряд Фурье* и оно определяет *спектр сложного колебания*.

Если имеем дело с непериодической функцией времени, то оказывается, что и она может быть представлена в виде интеграла по периодическим функциям. Такое разложение называется разложением в *интеграл Фурье*. Возможность разложения в ряд Фурье или интеграл Фурье есть следствие общей математической теоремы о разложении любой функции в ряд или интеграл по полному набору ортонормированных функций.

Например, рассмотрим периодический сигнал, состоящий из прямоугольных импульсов (рис. 3.8), с периодом  $T = 2\tau$ . Разложение для подобного колебания выглядит следующим образом:

$$f(t) = \frac{a_0}{2} + \sum_{n=1}^{\infty} (a_n \cos n\omega t + b_n \sin n\omega t) \quad (4.3.19)$$

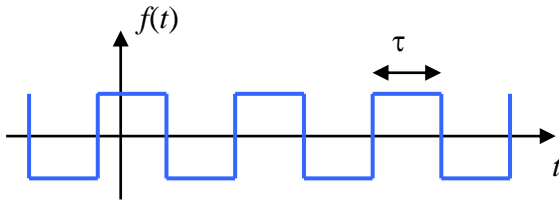


Рис. 3.8.

Здесь  $\omega = 2\pi/T$ , а  $a_n$  и  $b_n$  – амплитуды слагаемых гармонических колебаний, которые определяются как интегралы:

$$a_0 = \frac{2}{T} \int_0^T f(t) dt \quad (4.3.20)$$

$$a_n = \frac{2}{T} \int_0^T f(t) \cos n\omega t dt \quad (4.3.21)$$

$$b_n = \frac{2}{T} \int_0^T f(t) \sin n\omega t dt$$

Из интегралов (4.3.21) - (4.3.22) получаем амплитуды  $a_n$  и  $b_n$  колебаний с соответствующими частотами  $n\omega$ . При этом говорят, что совокупность значений  $a_n$  и  $b_n$  составляет *спектр данного колебания* или сигнала. Для периодического сигнала спектр дискретный, кратный частоте  $\omega$ .

Аналогичным образом получается спектр для непериодической функции времени. Только вместо бесконечного ряда Фурье (4.3.19) записывается интеграл Фурье по частоте, при этом амплитуды  $a(\omega)$  и  $b(\omega)$  являются непрерывными функциями частоты. Таким образом получаем непрерывный характер спектра разложения.